



描述

HR4988是一种便于使用的内部集成了译码器的微特步进电机驱动器。其设计为能使双极步进电机以全、半、1/4、1/8、1/16、1/32、1/64和1/128步进模式工作。步进模式由逻辑输入MSx选择。输出驱动能力达到35V和±2A。HR4988包含一个工作在慢衰或混合衰减模式的固定关闭时间的电流调节器。

译码器是HR4988易于实施的关键。通过STEP简单的输入一个脉冲就可以使电机完成一次步进，省去了相序表，高频控制线及复杂的编程接口。这使其更适于在没有复杂的微处理器或微处理器负担过重的场合。

在步进操作期间，HR4988的内部电路可以自动的控制其PWM操作工作在快、慢及混合衰减模式。在混合衰减模式下，器件初始经过一段时间的快衰减后，将切换至慢衰减模式直至固定关闭时间结束。混合衰减模式控制不但降低了电机工作时产生的噪声，还增加了步进的准确性，同时减小了系统的功耗。

内部的同步整流控制电路改善了PWM操作时的功耗。内部保护电路包括：带迟滞额过热保护、欠压锁定及过流保护。不需要特别的上电时序。

HR4988目前提供两种贴片封装：一是带有裸露焊盘的QFN-28封装，另一种是带有裸露焊盘的TSSOP-28封装，能有效改善散热性能，且是无铅产品，引脚框采用100%无锡电镀。

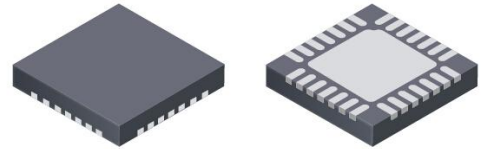
型号选择

Part Number	Package
HR4988SQ	QFN28 with exposed thermal pad
HR4988MTE	TSSOP28 with exposed thermal pad

特点

- 低导通电阻 $R_{DS(ON)}$
- 自动检测并选择电流衰减模式
- 支持慢衰减和混合衰减模式
- 降低功耗的同步整流功能
- 内部欠压锁定
- 过流保护
- 兼容3.3V和5V逻辑电平
- 过热关断电路
- 对地短路保护
- 负载短路保护
- 八种步进模式，支持128细分

封装形式

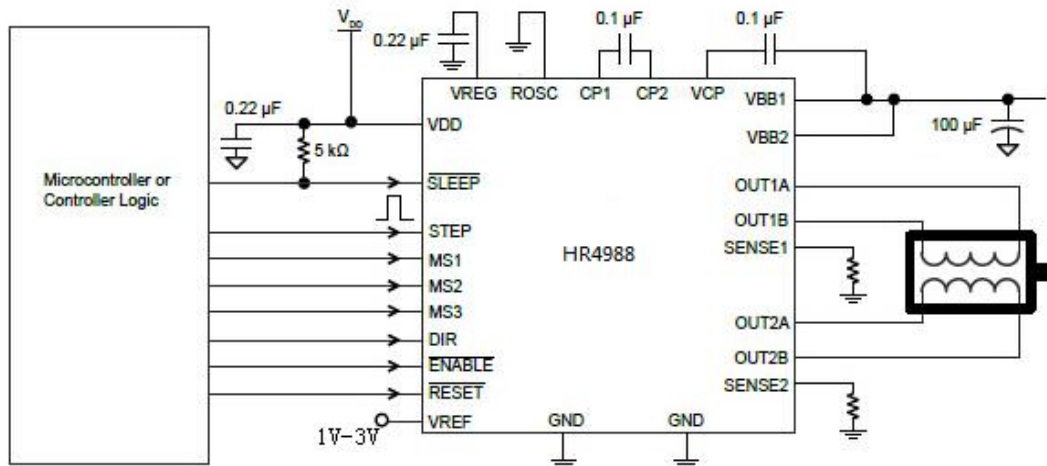


QFN28 with exposed thermal pad

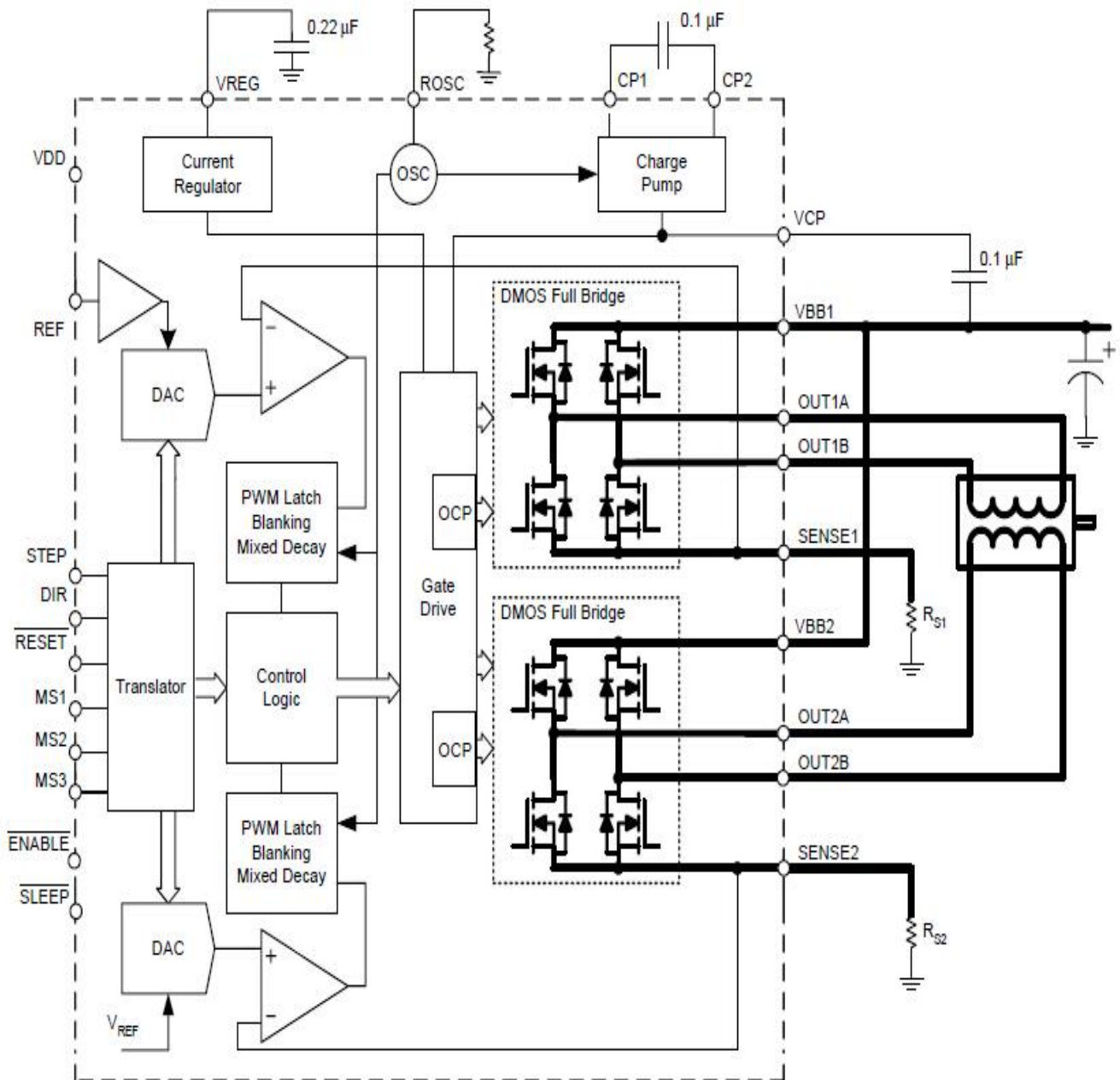


TSSOP28 with exposed thermal pad

Typical Application Diagram



Functional Block Diagram



注意:

为兼容 A4988，正式量产 HR4988 与前期送样样品存在某些差异，还请试样客户谅解。差异如下：

1、细分

MS1	MS2	MS3	前期样品	正式产品	A4988
0	0	1	1/16	1/128	-
1	0	1	1/32	1/32	-
0	1	1	1/64	1/64	-
1	1	1	1/128	1/16	1/16

2、DIR 反向

正式产品 DIR 管脚内部加了反向器，所以与前期产品定义的方向相反。

电路工作极限 at Ta = 25 °C

Parameter	Symbol	Conditions	Ratings	Unit
Load Supply Voltage	V _{BB}		35	V
Output Current	I _{OUT}		±2	A
Logic Input voltage	V _{IN}		-0.3 to 5.5	V
Logic Supply voltage	V _{DD}		-0.3 to 5.5	V
Motor Output Voltage			-2.0 to 37	V
Sense Voltage	V _{SENSE}		-0.5 to 0.5	V
Reference Voltage	V _{REF}		5.5	V
Operating Ambient Temperature	T _A	Range S	-20 to 85	°C
Maximum Junction	T _{J(max)}		150	°C
Storage Temperature	T _{stg}		-55 to 150	°C

推荐工作条件 at Ta = 25°C

		Min	NOM	Max	Unit
负载供电电压	V _{BB}	8	-	35	V
逻辑供电电压	V _{CC}	2.8	-	5.5	V
输出电流设置	I _{OUT}	0		1.8	A

推荐外围设置

- 1、ROSC: 建议直接接地，省去对地电阻空间。
- 2、VREF 参考电压设置， 1V – 3V。
- 3、CP 电容: 0.1uF/50V
- 4、VCP 电容: 0.1uF/50V
- 5、VREG 电容: 0.22uF/16V
- 6、RSENSE 电阻，根据 REF 和目标电流合理设置

$$I_{\text{Trip MAX}} = V_{\text{REF}} / (8 \times R_s)$$

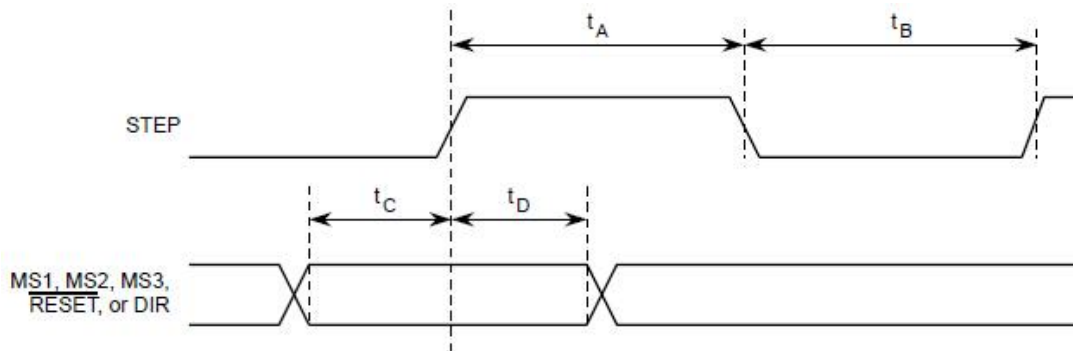
电特性¹ at Ta = 25 °C, V_{BB} = 35 V

Parameter	Symbol	Conditions	Min	Typ ²	Max	Unit
Output Drivers						
Load Supply Voltage Range	V _{BB}	Operating	8	-	35	V
Logic Supply Voltage Range	V _{DD}	Operating	3.0	-	5.5	V
Output On Resistance	R _{DS(ON)}	Source Driver, I _{OUT} = -1.5A		320	430	mΩ
		Sink Driver, I _{OUT} = 1.5A		320	430	mΩ
Body Diode Forward Voltage	V _F	Source Diode, I _F = -1.5A			1.2	V
		Sink Diode, I _F = 1.5A			1.2	V
Motor Supply Current	I _{BB}	f _{PWM} < 50kHz			4	mA
		Operating, outputs disabled			2	mA
Logic Supply Current	I _{DD}	f _{PWM} < 50kHz			8	mA
		Operating, outputs disabled			5	mA
Control Logic						
Logic Input Voltage	V _{IN(1)}		V _{DD} *0.7			V
	V _{IN(0)}				V _{DD} *0.3	V
Logic Input Current	I _{IN(1)}	V _{IN} = V _{DD} * 0.7	-20	<1.0	20	uA
	I _{IN(0)}	V _{IN} = V _{DD} * 0.3	-20	<1.0	20	uA
Microstep Select	R _{MS1}		-	100		kΩ
	R _{MS2}		-	50	-	kΩ
	R _{MS3}		-	100	-	kΩ
Logic Input Hysteresis	V _{HYS(IN)}	As a % of V _{DD}	5	11	19	%
Blank Time	t _{BLANK}		0.7	1	1.3	us
Fixed Off-Time	t _{OFF}	OSC = V _{DD} or GND	20	30	40	us
		R _{OSC} = 25kΩ	23	30	37	us
Reference Input Voltage Range	V _{REF}		0.5	-	4	V
Reference Input Current	I _{REF}		-3	0	3	uA
Current Trip-Level Error ³	eIT ₁	V _{REF} = 2V, %I _{TripMAX} = 38.27%	-	-	±15	%
		V _{REF} = 2V, %I _{TripMAX} = 70.71%	-	-	±5	%
		V _{REF} = 2V, %I _{TripMAX} = 100%	-	-	±5	%
Crossover Dead Time	t _{DT}		100	475	800	ns
Protection						
Overcurrent Protection ⁴	I _{OC PST}		3	-	-	A
Thermal Shutdown	T _{TSD}		-	165	-	°C
Thermal Shutdown Hysteresis	T _{TSDHYS}		-	15	-	°C
VDD Undervoltage Lockout	V _{DDUVLO}	V _{DD} rising	2.7	2.8	2.9	V
VDD Undervoltage Hysteresis	V _{DDUVLOH}		-	90	-	mV

¹对于输入/输出电流，我们将从指定器件引脚流出的电流定义为负电流。²典型数据仅是在最佳制造和应用的假设条件下的数值，仅供初步设计概算使用。对于个体芯片，性能可能有所不同，均在最大值和最小值间。³V_{ERR} = [(V_{REF}/8) - V_{SENSE}] / (V_{REF}/8).⁴过流保护(OC P) 门限值是指在T_A=25 °C下能够保证性能的值

电路控制信号时序上的要求:

($T_A = +25^\circ\text{C}$, $V_{DD} = 5\text{ V}$, 逻辑电平为 V_{DD} 或 GND)



Time Duration	Symbol	Typ.	Unit
STEP minimum, HIGH pulse width	t_A	1	μs
STEP minimum, LOW pulse width	t_B	1	μs
Setup time, input change to STEP	t_C	200	ns
Hold time, input change to STEP	t_D	200	ns

Figure 1: Logic Interface Timing Diagram

Table 1: Microstepping Resolution Truth Table

MS1	MS2	MS3	Microstep Resolution	Excitation Mode
L	L	L	Full Step	2 Phase
H	L	L	Half Step	1-2 Phase
L	H	L	Quarter Step	W1-2 Phase
H	H	L	1/8 Step	2W1-2 Phase
H	H	H	1/16 Step	4W1-2 Phase
H	L	H	1/32 Step	8W1-2 Phase
L	H	H	1/64 Step	16W1-2 Phase
L	L	H	1/128 Step	32W1-2 Phase

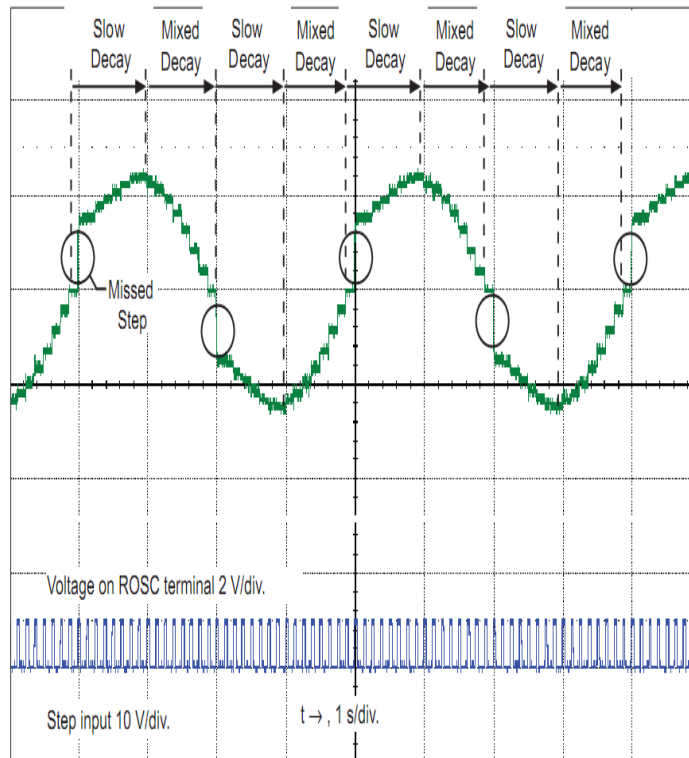


Figure 2. Missed steps in low-speed microstepping

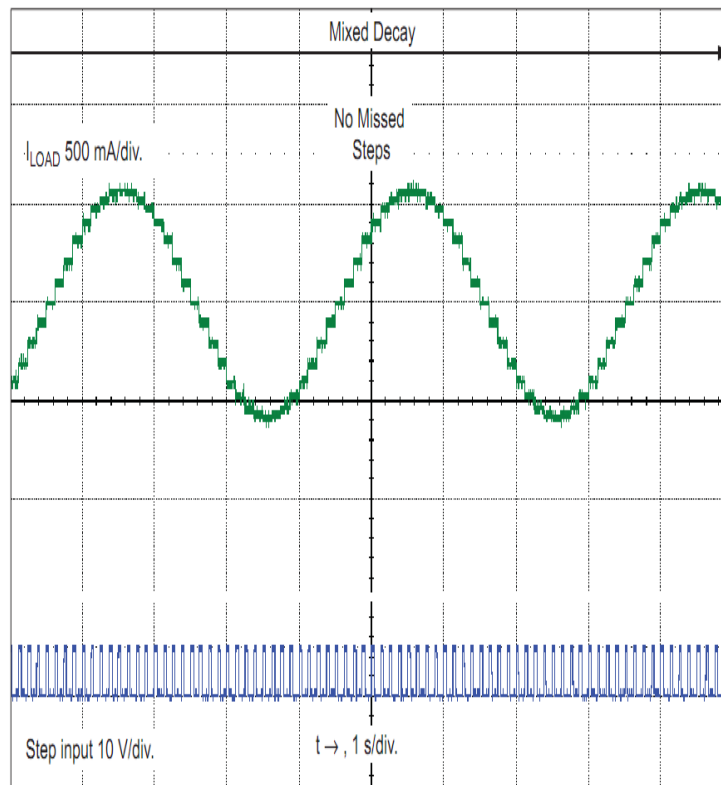


Figure 3. Continuous stepping using automatically-selected mixed stepping (ROSC pin grounded)

模块功能描述

器件工作：HR4988是一种便于使用的内部集成了译码器的微特步进电机驱动器，只需少量的控制线。其设计能够让双极步进电机以全、半、1/4和1/8、1/16、1/32、1/64和1/128步进工作。每一个H桥都有一个有固定关闭时间的PWM电流控制电路，以限制其N沟道DMOS功率管的负载电流在一个设计值。每个步进的全桥输出电流是由外部检流电阻(RS1和RS2)的值，参考电压(V_{REF})和DAC(依次由译码器的输出控制)的输出电压来设定。

在上电或复位时，译码器将DAC和相电流的极性设为初始的Home状态(如图9~13所示)，且两相的电流调节器均工作在混合衰减模式。当一个步进信号进入STEP端口，译码器自动将DAC排序进入下一电平和电流极性。(表2给出了电流台阶顺序)。微步细分精度由MS1、MS2和MS3输入组合确定，如表1所示。

当步进进行时，如果DAC的输出电平低于前一个输出电平，则当前的H全桥进入混合衰减模式。如果DAC输出电平高于或者等于前一个电平，则当前的H全桥进入慢衰减模式。自动的电流衰减选择通过减小电流波形失真改善了微步进性能，其产生原因是电机的反电动势。

微步进选择(MS1、MS2、MS3)：微步细分精度由MS1、MS2和MS3逻辑输入电压确定，如表1所示。MSx均有下拉电阻。当改变步进模式时，直到下一个STEP的上升沿才起作用。

如果步进模式改变，而译码器没有复位，其绝对位置必须要保持。为了防止丢步，选择一个适用于所有步进模式的步进位置，再去改变步进模式，这点很重要。当器件断电或者由于过温重启或过流时，译码器被置于home位置，这是所有步进模式默认的共同位置。

混合衰减操作：当上电复位后正常工作时，根据ROSC的配置和步进顺序，H桥工作于混合衰减模式，如图8~11所示。在混合衰减期间，当达到预定值时，HR4988初始进入快衰模式，快衰减时间占固定关闭时间 t_{OFF} 的31.25%。其后转为慢衰减直至固定关闭时间结束。时序框图在图7中呈现。

一般混合衰减只是在绕组中的电流从一个高的值变为一个低的值时需要，由译码器的设置决定。对大多数负载来说，混合衰减模式的自动选择很便利，

因为能够减小电流上升时的纹波和防止电流下降时的丢步。特别是在一些非常低速的微步进应用中十分必要，绕组中反电动势的不足造成负载中的电流增加很快，导致丢步。如图2所示。通过将ROSC管脚接地，混合衰减在100%的时间内起作用，无论电流上升或者下降，同时防止丢步，如图3所示。如果不存在丢步问题，也推荐使用自动选择混合衰减模式，因为其会减小电流纹波。详细描述请参考固定关闭时间一节。

低电流微步进：在某些应用中，过短的导通时间使得输出电流无法调节到程序设定的低电流水平。为了防止这种现象，器件可以在电流波形的上升和下降两个方向都工作在混合衰减模式。这是通过将ROSC管脚接地实现的。

复位输入(nRESET)：RESET输入(低电平有效)使得TRANSLATOR恢复初始状态(如图9~13所示)，关断所有DMOS输出，此时STEP输入无效，直到RESET重新变为高电平为止。

STEP输入：STEP信号上升沿触发有效，通过TRANSLATOR控制，每个STEP上升沿触发使得电机有一个步进的变化。TRANSLATOR控制DAC的输入和流过线圈的电流方向；每一步进的电流大小和转动角度由MS1、MS2和MS3输入逻辑电平控制。

方向控制(DIR)：DIR输入控制马达的转动方向，在STEP信号上升沿触发到来之前，任何DIR上的变动都对电路不产生影响；

内部PWM电流控制：每一个H桥都有一个有固定关闭时间的PWM电流控制电路，以限制其负载电流在一个设计值， I_{TRIP} 。初始时，对角线上的一对DMOS(一对上下桥臂)处于输出状态，电流流经电机绕组和SENSE脚所接的电流取样电阻， R_{Sx} 。当取样电阻上的电压等于DAC的输出电压时，电流取样比较器将PWM锁存器锁定，从而关断源驱动器(上桥臂)，进入慢衰减模式；或同时关断源驱动器和灌流驱动器(上下桥臂)进入快或混合衰减模式，使产生环流或电流回流至源端。该环流或回流将持续衰减至固定关闭时间结束为止。然后，正确的输出桥臂被再次启动，电机绕组电流再次增加，整个PWM循环完成。其中，最大限流是由取样电阻 RSx 和电流取样比较器的输入

电平 VREF 控制的, $I_{\text{TripMAX}}(A)$ 由下式决定:

$$I_{\text{Trip MAX}} = VREF / (8 \times R_s)$$

每步的实际电流为最大电流的百分比, 近似为:

$$I_{\text{Trip}} = (\%I_{\text{Trip Max}} / 100) I_{\text{Trip Max}}$$

(表 2 给出了每步的最大电流百分比)

注意: SENSE 脚上的最大电压不能超过 0.5V。

固定关闭时间 t_{off} : 内部 PWM 控制电路是利用单触发电路来控制 DMOS 的剩余关闭时间。固定关闭时间 t_{off} 是由 ROSC 引脚决定的。ROSC 引脚有三种设置, 即:

●ROSC 接 VDD—关闭时间内部设为 30us, 自动选择混合衰减模式, 除了全步模式下为慢衰减模式。

●ROSC 接地—关闭时间初始设为 30us, 对所有模式的电流上升和下降步进, 衰减模式自动选择为混合衰减模式。建议直接使用此方法设计外围电路。

●ROSC 接对地的电阻—关闭时间由下面的公式决定, 自动选择为混合衰减模式, 除了全步模式下为慢衰减模式。

$$t_{\text{off}} \cong R_{\text{osc}} / 825$$

t_{off} 单位为 us。

消隐(Blanking): 当输出在内部电流控制电路作用下开关时, 该功能屏蔽电流检测比较器的输出, 防止由于钳位二极管反向恢复电流, 以及负载电容的开关瞬态电流导致的错误的过流检测。消隐时间, $t_{\text{BLANK}}(\text{us})$, 近似为 1us。

电荷泵 (CP1 和 CP2): 电荷泵用来生成一个高于 VBB 的电压, 去驱动源 DMOS 的栅极。一个 0.1uF 的陶瓷电容接在 CP1、CP2 之间, 实现电荷泵的目的。一个 0.1uF 陶瓷电容接在 VCP、VBB 之间, 用来存储电荷, 去驱动源 DMOS 器件。

电容值需为 Class2 介质, $\pm 15\%$ 最大波动或者耐压 R 级, 根据 EIA。

VREG: 电路内部产生的基准电压, 用于低端门级驱动的 DMOS 电源。正常工作时, VREG 电压为 5.5V。VREG 外部必须通过一个

0.22uF 电容耦合到地。VREG 作为内部电路的一个监视器, 当内部 VREG 没有正常工作时, DMOS 器件输出被禁止。

使能输入(nENABLE): 该输入控制所有 FET 输出的开关。当其为逻辑高电平时, 输出关断。当其为逻辑低电平时, 内部控制使能起作用。译码器输入 STEP, DIR, MS1、MS2 和 MS3, 以及内部时序逻辑, 全部有效, 独立于 nENABLE 输入。

SHUTDOWN 关断: 当电路发生过温保护或者发生 VCP 的欠压闭锁时, SHUTDOWN 功能正常工作, 此时电路的正常功能被禁止, 直到电路脱离 SHUTDOWN 条件。在电路上电过程中, VDD 电压还没有达到电压阈值时, VDD 的欠压闭锁电路使输出 DMOS 电路全部关断, 输出被设置为 HOME 状态。

休眠模式(nSLEEP): 当 SLEEP 引脚输入为低电平时, 器件将进入休眠模式, 从而大大降低器件空闲的功耗。进入休眠模式后器件的大部分内部电路包括 DMOS 输出电路、调节器及电荷泵等都将停止工作。当其输入翻转为高电平时, 系统恢复到正常的操作状态并将器件的输出预置到 HOME 状态, 为了内部电荷泵恢复稳定工作, 在 SLEEP 恢复高电平并延时 1ms 后 STEP 信号才能起作用。

混合衰减操作: 当上电复位后正常工作时, 根据 ROSC 的配置和步进顺序, H 桥工作于混合衰减模式, 如图 9~13 所示。在混合衰减期间, 当达到预定值时, HR4988 初始进入快衰模式, 快衰减时间占固定关闭时间 t_{off} 的 31.25%。其后转为慢衰直至固定关闭时间结束。时序框图在下页图中呈现。

同步整流: 在电流衰减期间, 同步整流功能打开对应的 FET 由于 FET 的导通电阻低, 有效的使二极管短路。这样有效的降低了功耗, 同时, 在很多应用场合, 省去了外置肖特基二极管。当负载电流接近 0 时, 同步整流关闭, 这样防止负载电流反向。

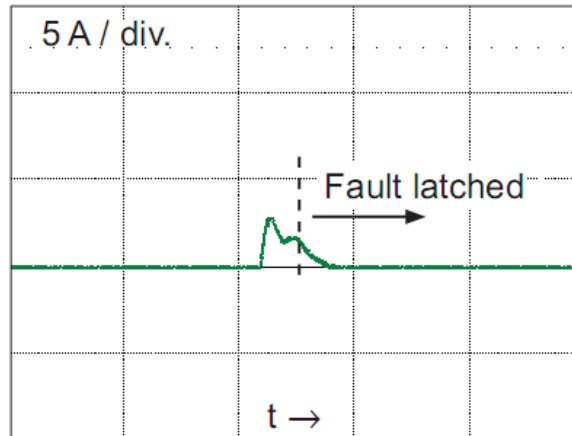


Figure 4. Short-to-ground event

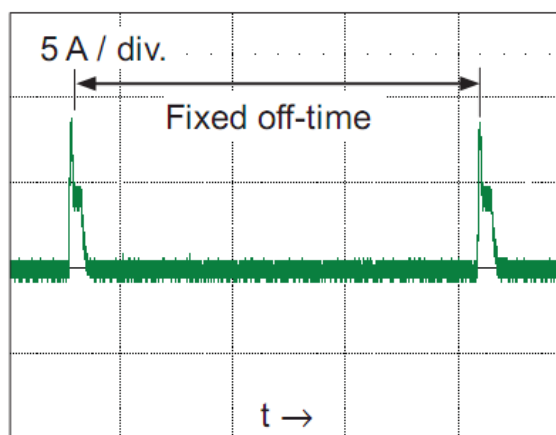


Figure 5. Shorted load (OUTxA → OUTxB) in Slow decay mode

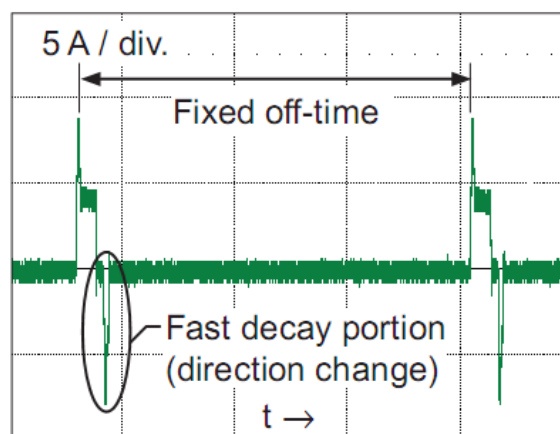


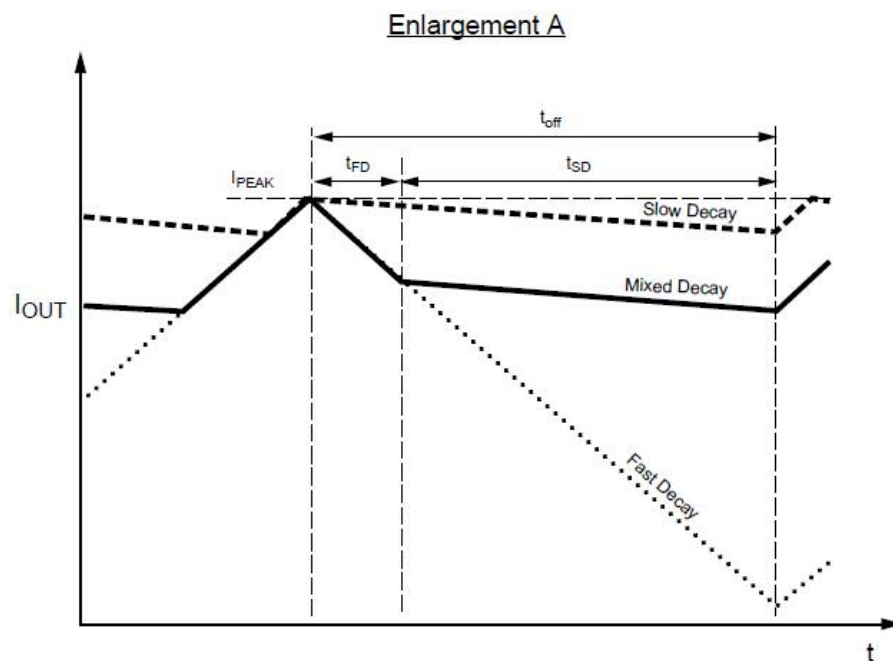
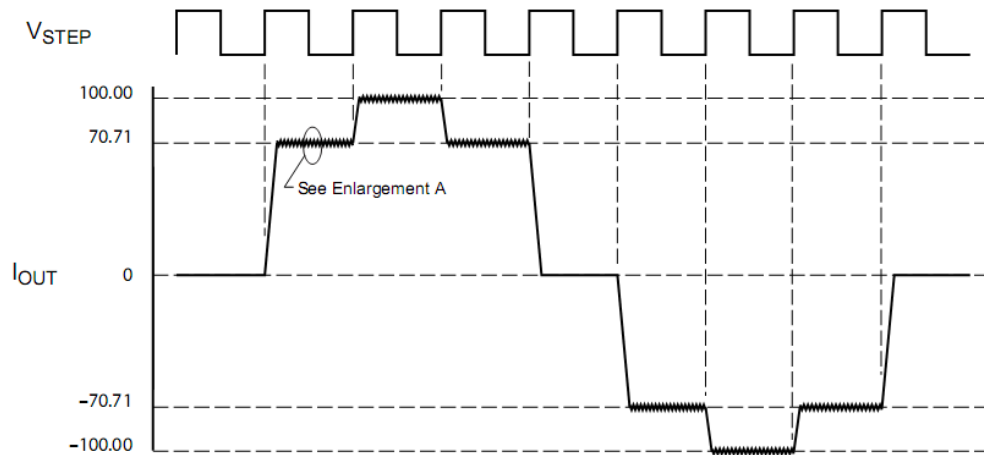
Figure 6. Shorted load (OUTxA → OUTxB) in Mixed decay mode

输出短路和对地短路保护：如果两电机输出管脚短接或者任一输出管脚对地短路，驱动器会通过检测这一过流事件，然后禁能短路的输出，这样事器件免于烧毁。当对地短路发生时，驱动器会一直保持禁能，直到 SLEEP 进入高电平或者 VDD 被去除。图 4 为对地短路过流现象。

当两个输出短接在一起，电流通路经过检测电阻，经过一个消隐时间（约 1us），由于过流现象存在，检测电阻端电压会超过最大电压。这样会使驱动器进入固定衰减模式。经过一个固定关闭时间后，器件又会重新开始

保护。在这种情况下，器件的过流现象就会被彻底保护，但是短路还是会重复出现的，依据固定关闭周期。图 5 表明了这种情况。

当负载短路发生时，由于混合衰减的作用，在电流换向的时候，很容易观察到一个正向或者反向的尖峰电流。图 6 显示了这种情况。在这两种情况下，过流保护电路保护驱动器免于受烧毁。



Symbol	Characteristic
t_{off}	Device fixed off-time
I_{PEAK}	Maximum output current
t_{SD}	Slow decay interval
t_{FD}	Fast decay interval
I_{OUT}	Device output current

Figure 7: Current Decay Modes Timing Chart

电路应用信息

版图注意事项： PCB 板上应覆设大块的散热片，地线的连接应有很宽的地线覆线。为了优化电路的电特性和热参数性能，芯片应该直接紧贴在散热片上。

对电极电源 VBB，应该连接不小于 47uF 的电解电容对地耦合，电容应尽可能的靠近器件摆放。

为了避免因高速 dv/dt 变换引起的电容耦合问题，驱动电路输出端电路覆线应远离逻辑控制输入端的覆线。逻辑控制端的引线应采用低阻抗的走线以降低热阻引起的噪声。

地线设置： AGND 和 PGND 的连线必须在芯片外部短接。所有的地线都应连接在一起，且连线还应改尽可能的短。一个位于器件下的星状发散的地线覆设，将是一个优化的设计。

在覆设的地线下方增加一个铜散热片会更好的优化电路性能。

电流取样设置： 为了减小因为地线上的寄生电阻引起的误差，马达电流的取样电阻 R_S 接地的地线要单独设置，减小其他因素引起的误差。单独的地线最终要连接到星状分布的地线总线上，该连线要尽可能的短，对小阻值的 R_S ，由于 R_S 上的压降 $V=I \cdot R_S$ 小于 0.5V，PCB 上的连线压降与 0.5V 的电压将显得不可忽视，这一点要考虑进去。

PCB 尽量避免使用测试转接插座，测试插座的连接电阻可能会改变 R_S 的大小，对电路造成误差。 R_S 值的选择遵循下列公式：

$$R_S = 0.5 / I_{TRIP\ max}$$

热保护： 当内部电路结温超过 165°C 时，过温模块开始工作，关断内部多有驱动电路。过温保护电路只保护电路温度过高产生的问题，而不应对输出短路的情况产生影响。热关断的阈值窗口大小为 15°C。

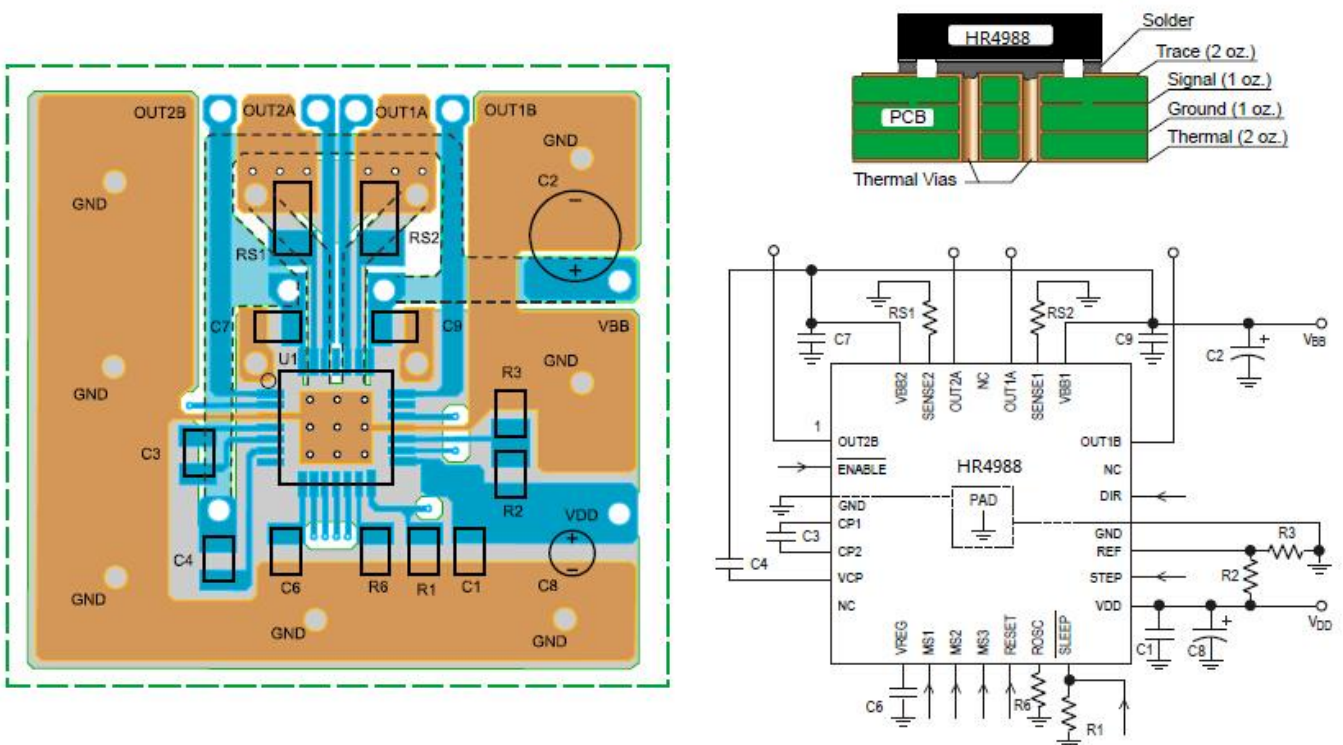
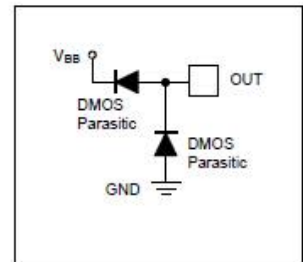
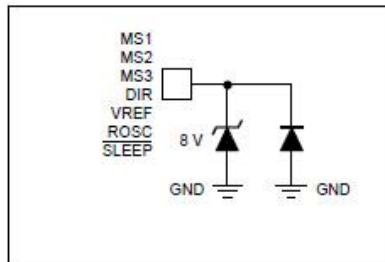
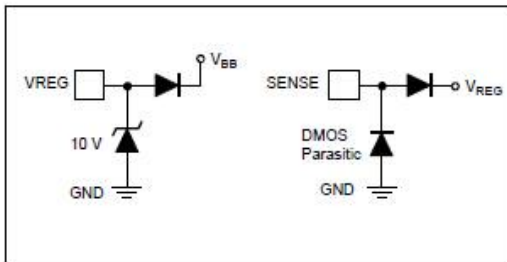
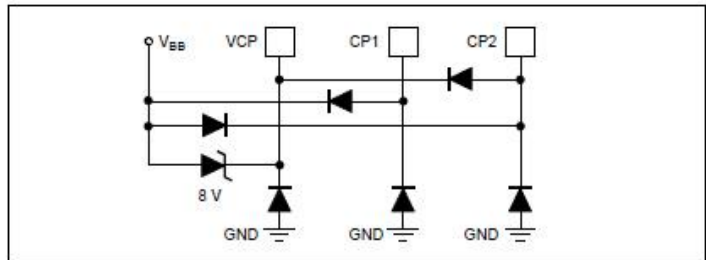
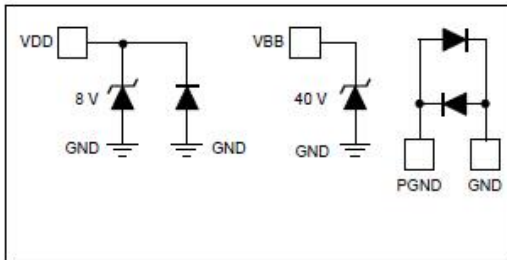
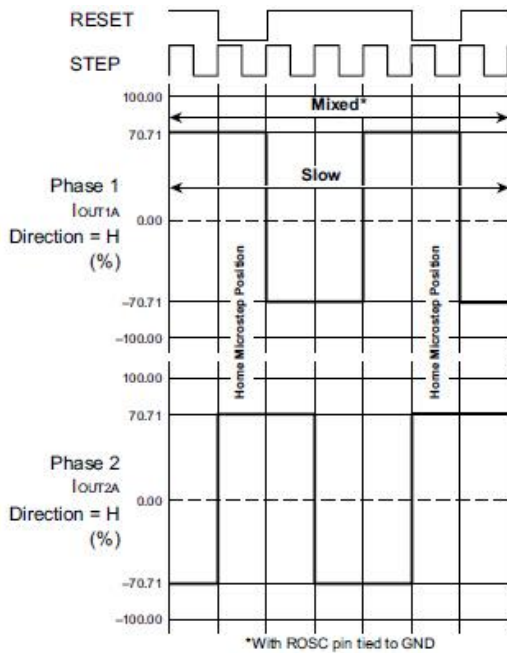


Figure 8: Typical Application and Circuit Layout

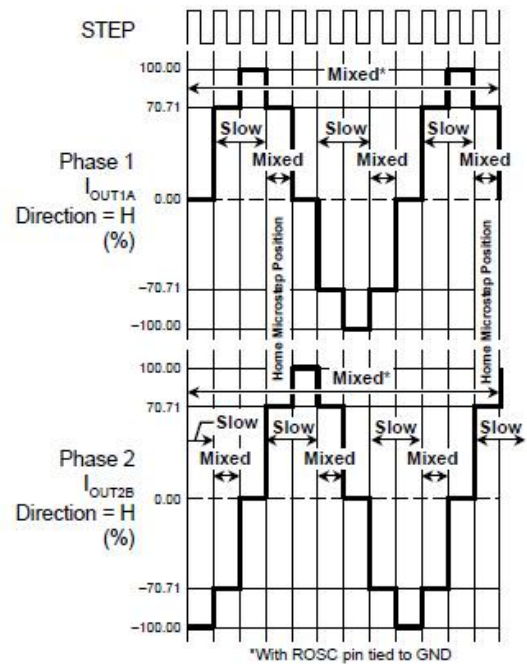
Pin Circuit Diagrams





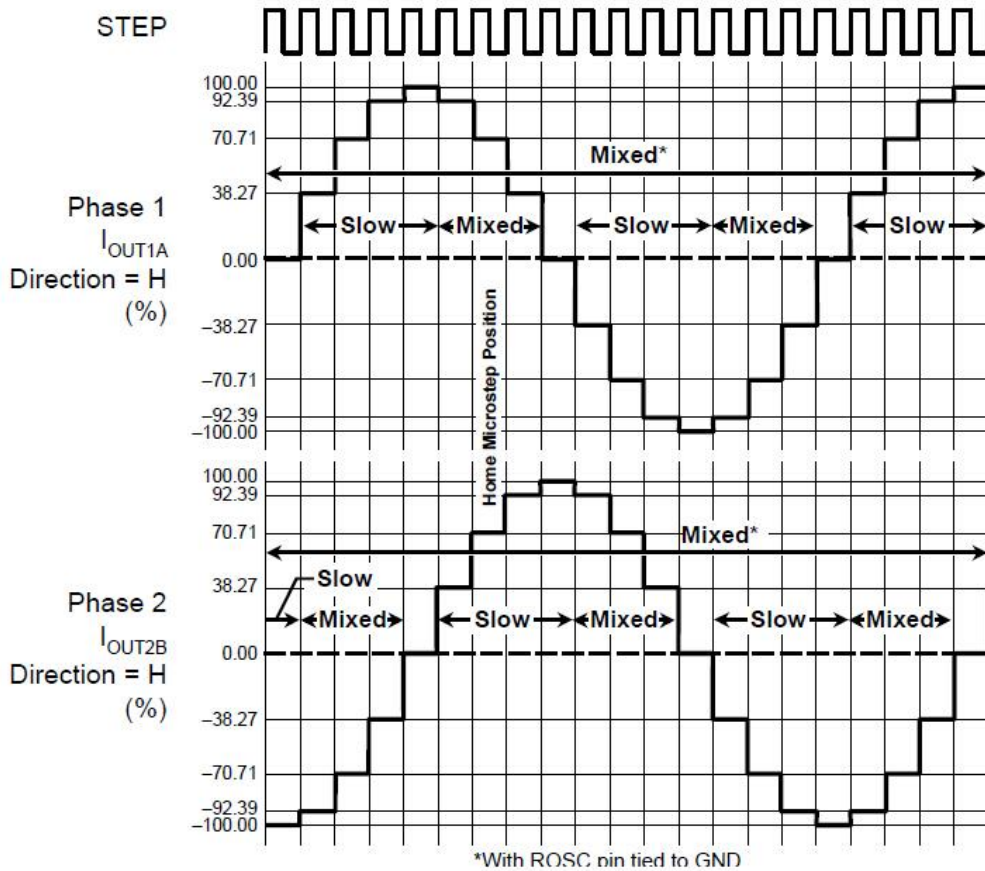
DIR = H

Figure 9: Decay Mode for Full-Step Increments



DIR = H

Figure 10: Decay Modes for Half-Step Increments



DIR = H

Figure 11: Decay Modes for Quarter-Step Increments

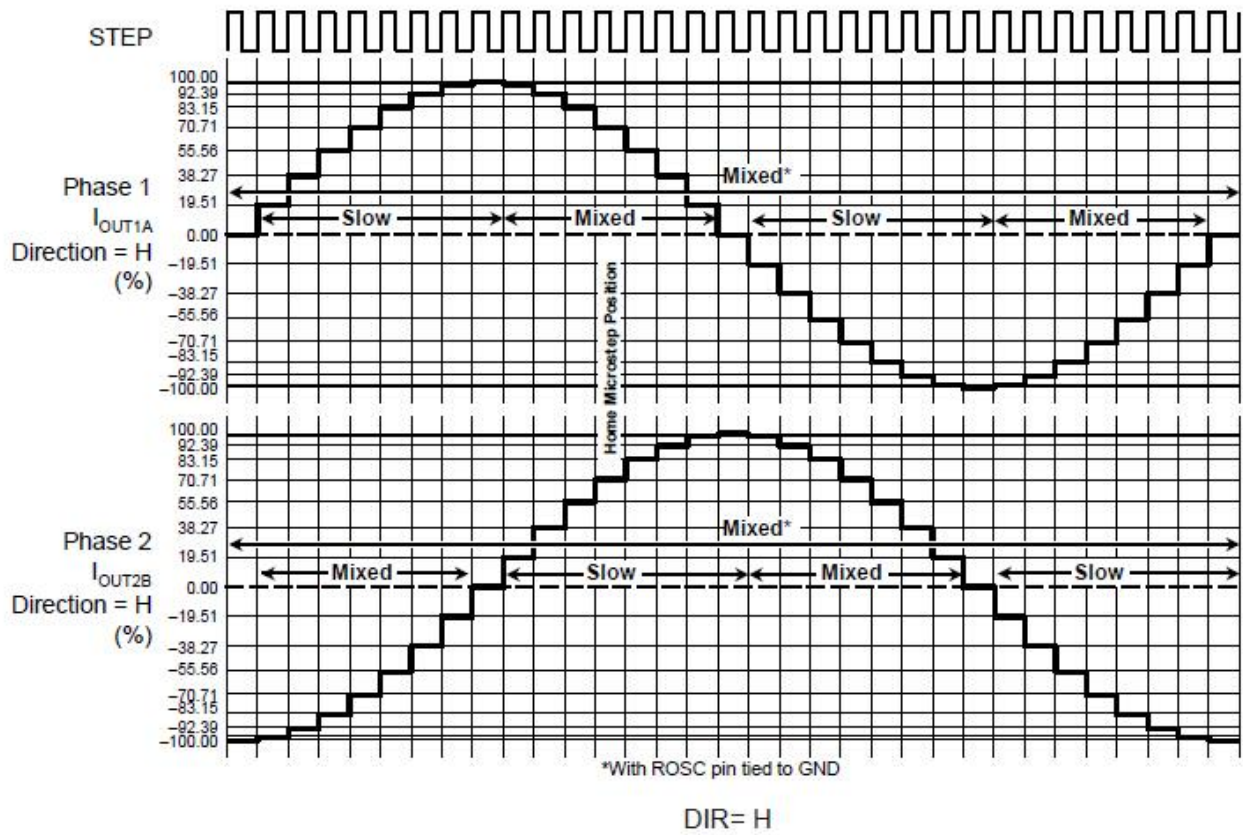


Figure 12: Decay Modes for Eighth-Step Increments

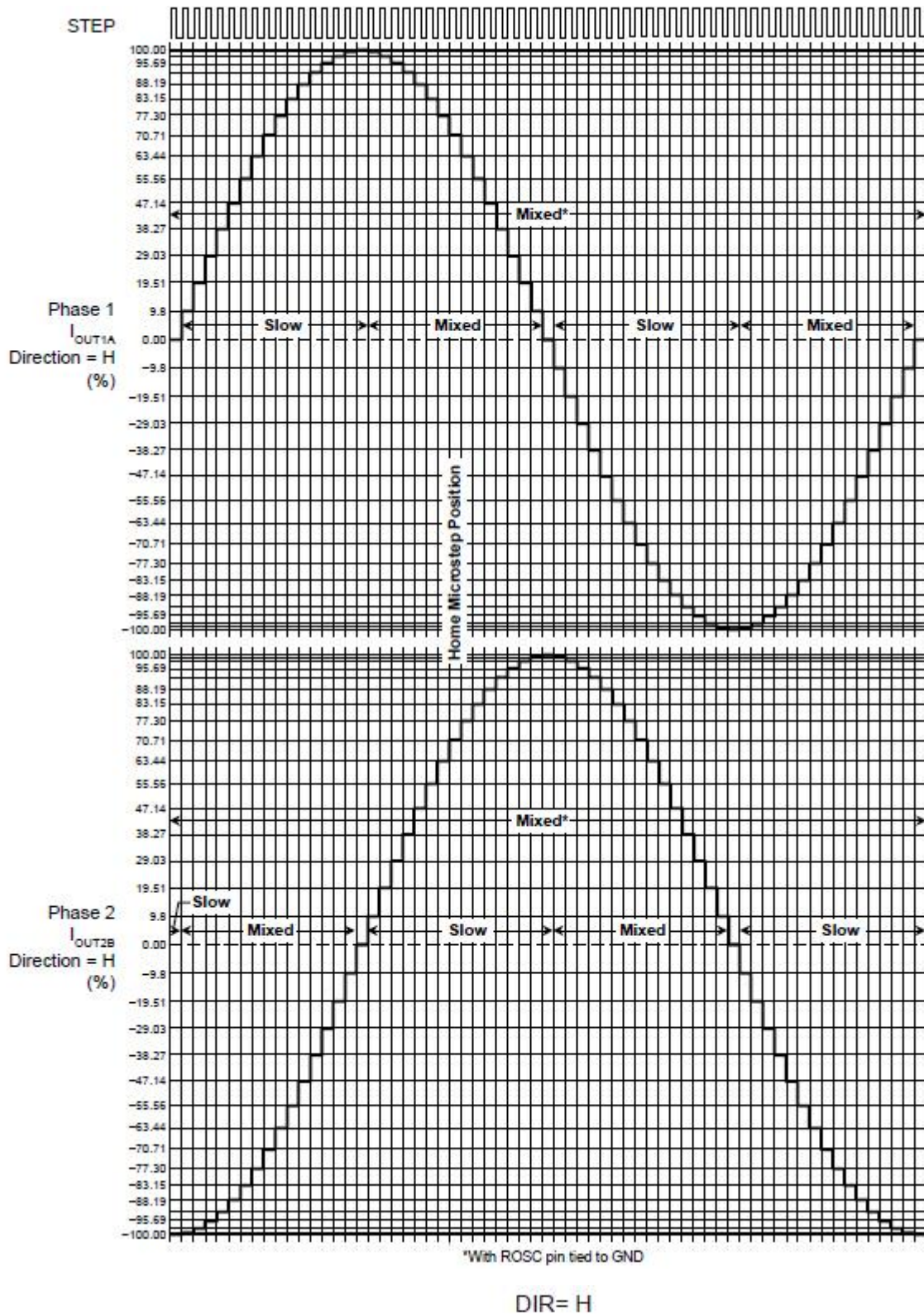


Figure 13: Decay Modes for Sixteenth-Step Increments

Table 2: Step Sequencing Settings

Home microstep position at Step Angle 45°; DIR = H

1/128	1/64	1/32	1/16	1/8	1/4	1/2	full	Phase 1 Current [% ItripMax] (%)	Phase 2 Current [% ItripMax] (%)	Step Angle (°)
1	1	1	1	1	1	1		100.0	0.0	0.00
2								100.0	1.2	0.70
3	2							100.0	2.5	1.41
4								99.9	3.7	2.11
5	3	2						99.9	4.9	2.81
6								99.8	6.1	3.52
7	4							99.7	7.4	4.22
8								99.6	8.6	4.92
9	5	3	2					99.5	9.8	5.63
10								99.4	11.0	6.33
11	6							99.2	12.2	7.03
12								99.1	13.5	7.73
13	7	4						98.9	14.7	8.44
14								98.7	15.9	9.14
15	8							98.5	17.1	9.84
16								98.3	18.3	10.55
17	9	5	3	2				98.1	19.5	11.25
18								97.8	20.7	11.95
19	10							97.6	21.9	12.66
20								97.3	23.1	13.36
21	11	6						97.0	24.3	14.06
22								96.7	25.5	14.77
23	12							96.4	26.7	15.47
24								96.0	27.9	16.17
25	13	7	4					95.7	29.0	16.88
26								95.3	30.2	17.58
27	14							95.0	31.4	18.28
28								94.6	32.5	18.98
29	15	8						94.2	33.7	19.69
30								93.7	34.8	20.39
31	16							93.3	36.0	21.09
32								92.9	37.1	21.80
33	17	9	5	3	2			92.4	38.3	22.50
34								91.9	39.4	23.20
35	18							91.4	40.5	23.91
36								90.9	41.6	24.61
37	19	10						90.4	42.8	25.31
38								89.9	43.9	26.02
39	20							89.3	45.0	26.72

40								88.8	46.1	27.42
41	21	11	6					88.2	47.1	28.13
42								87.6	48.2	28.83
43	22							87.0	49.3	29.53
44								86.4	50.4	30.23
45	23	12						85.8	51.4	30.94
46								85.1	52.5	31.64
47	24							84.5	53.5	32.34
48								83.8	54.5	33.05
49	25	13	7	4				83.1	55.6	33.75
50								82.5	56.6	34.45
51	26							81.8	57.6	35.16
52								81.0	58.6	35.86
53	27	14						80.3	59.6	36.56
54								79.6	60.6	37.27
55	28							78.8	61.5	37.97
56								78.1	62.5	38.67
57	29	15	8					77.3	63.4	39.38
58								76.5	64.4	40.08
59	30							75.7	65.3	40.78
60								74.9	66.2	41.48
61	31	16						74.1	67.2	42.19
62								73.3	68.1	42.89
63	32							72.4	69.0	43.59
64								71.6	69.8	44.30
65	33	17	9	5	3	2	1	70.7	70.7	45.00
66								69.8	71.6	45.70
67	34							69.0	72.4	46.41
68								68.1	73.3	47.11
69	35	18						67.2	74.1	47.81
70								66.2	74.9	48.52
71	36							65.3	75.7	49.22
72								64.4	76.5	49.92
73	37	19	10					63.4	77.3	50.63
74								62.5	78.1	51.33
75	38							61.5	78.8	52.03
76								60.6	79.6	52.73
77	39	20						59.6	80.3	53.44
78								58.6	81.0	54.14
79	40							57.6	81.8	54.84
80								56.6	82.5	55.55
81	41	21	11	6				55.6	83.1	56.25
82								54.5	83.8	56.95
83	42							53.5	84.5	57.66

84								52.5	85.1	58.36
85	43	22						51.4	85.8	59.06
86								50.4	86.4	59.77
87	44							49.3	87.0	60.47
88								48.2	87.6	61.17
89	45	23	12					47.1	88.2	61.88
90								46.1	88.8	62.58
91	46							45.0	89.3	63.28
92								43.9	89.9	63.98
93	47	24						42.8	90.4	64.69
94								41.6	90.9	65.39
95	48							40.5	91.4	66.09
96								39.4	91.9	66.80
97	49	25	13	7	4			38.3	92.4	67.50
98								37.1	92.9	68.20
99	50							36.0	93.3	68.91
100								34.8	93.7	69.61
101	51	26						33.7	94.2	70.31
102								32.5	94.6	71.02
103	52							31.4	95.0	71.72
104								30.2	95.3	72.42
105	53	27	14					29.0	95.7	73.13
106								27.9	96.0	73.83
107	54							26.7	96.4	74.53
108								25.5	96.7	75.23
109	55	28						24.3	97.0	75.94
110								23.1	97.3	76.64
111	56							21.9	97.6	77.34
112								20.7	97.8	78.05
113	57	29	15	8				19.5	98.1	78.75
114								18.3	98.3	79.45
115	58							17.1	98.5	80.16
116								15.9	98.7	80.86
117	59	30						14.7	98.9	81.56
118								13.5	99.1	82.27
119	60							12.2	99.2	82.97
120								11.0	99.4	83.67
121	61	31	16					9.8	99.5	84.38
122								8.6	99.6	85.08
123	62							7.4	99.7	85.78
124								6.1	99.8	86.48
125	63	32						4.9	99.9	87.19
126								3.7	99.9	87.89
127	64							2.5	100.0	88.59

128								1.2	100.0	89.30
129	65	33	17	9	5	3		0.0	100.0	90.00
130								-1.2	100.0	90.70
131	66							-2.5	100.0	91.41
132								-3.7	99.9	92.11
133	67	34						-4.9	99.9	92.81
134								-6.1	99.8	93.52
135	68							-7.4	99.7	94.22
136								-8.6	99.6	94.92
137	69	35	18					-9.8	99.5	95.63
138								-11.0	99.4	96.33
139	70							-12.2	99.2	97.03
140								-13.5	99.1	97.73
141	71	36						-14.7	98.9	98.44
142								-15.9	98.7	99.14
143	72							-17.1	98.5	99.84
144								-18.3	98.3	100.55
145	73	37	19	10				-19.5	98.1	101.25
146								-20.7	97.8	101.95
147	74							-21.9	97.6	102.66
148								-23.1	97.3	103.36
149	75	38						-24.3	97.0	104.06
150								-25.5	96.7	104.77
151	76							-26.7	96.4	105.47
152								-27.9	96.0	106.17
153	77	39	20					-29.0	95.7	106.88
154								-30.2	95.3	107.58
155	78							-31.4	95.0	108.28
156								-32.5	94.6	108.98
157	79	40						-33.7	94.2	109.69
158								-34.8	93.7	110.39
159	80							-36.0	93.3	111.09
160								-37.1	92.9	111.80
161	81	41	21	11	6			-38.3	92.4	112.50
162								-39.4	91.9	113.20
163	82							-40.5	91.4	113.91
164								-41.6	90.9	114.61
165	83	42						-42.8	90.4	115.31
166								-43.9	89.9	116.02
167	84							-45.0	89.3	116.72
168								-46.1	88.8	117.42
169	85	43	22					-47.1	88.2	118.13
170								-48.2	87.6	118.83
171	86							-49.3	87.0	119.53

172								-50.4	86.4	120.23
173	87	44						-51.4	85.8	120.94
174								-52.5	85.1	121.64
175	88							-53.5	84.5	122.34
176								-54.5	83.8	123.05
177	89	45	23	12				-55.6	83.1	123.75
178								-56.6	82.5	124.45
179	90							-57.6	81.8	125.16
180								-58.6	81.0	125.86
181	91	46						-59.6	80.3	126.56
182								-60.6	79.6	127.27
183	92							-61.5	78.8	127.97
184								-62.5	78.1	128.67
185	93	47	24					-63.4	77.3	129.38
186								-64.4	76.5	130.08
187	94							-65.3	75.7	130.78
188								-66.2	74.9	131.48
189	95	48						-67.2	74.1	132.19
190								-68.1	73.3	132.89
191	96							-69.0	72.4	133.59
192								-69.8	71.6	134.30
193	97	49	25	13	7	4	2	-70.7	70.7	135.00
194								-71.6	69.8	135.70
195	98							-72.4	69.0	136.41
196								-73.3	68.1	137.11
197	99	50						-74.1	67.2	137.81
198								-74.9	66.2	138.52
199	100							-75.7	65.3	139.22
200								-76.5	64.4	139.92
201	101	51	26					-77.3	63.4	140.63
202								-78.1	62.5	141.33
203	102							-78.8	61.5	142.03
204								-79.6	60.6	142.73
205	103	52						-80.3	59.6	143.44
206								-81.0	58.6	144.14
207	104							-81.8	57.6	144.84
208								-82.5	56.6	145.55
209	105	53	27	14				-83.1	55.6	146.25
210								-83.8	54.5	146.95
211	106							-84.5	53.5	147.66
212								-85.1	52.5	148.36
213	107	54						-85.8	51.4	149.06
214								-86.4	50.4	149.77
215	108							-87.0	49.3	150.47

216								-87.6	48.2	151.17
217	109	55	28					-88.2	47.1	151.88
218								-88.8	46.1	152.58
219	110							-89.3	45.0	153.28
220								-89.9	43.9	153.98
221	111	56						-90.4	42.8	154.69
222								-90.9	41.6	155.39
223	112							-91.4	40.5	156.09
224								-91.9	39.4	156.80
225	113	57	29	15	8			-92.4	38.3	157.50
226								-92.9	37.1	158.20
227	114							-93.3	36.0	158.91
228								-93.7	34.8	159.61
229	115	58						-94.2	33.7	160.31
230								-94.6	32.5	161.02
231	116							-95.0	31.4	161.72
232								-95.3	30.2	162.42
233	117	59	30					-95.7	29.0	163.13
234								-96.0	27.9	163.83
235	118							-96.4	26.7	164.53
236								-96.7	25.5	165.23
237	119	60						-97.0	24.3	165.94
238								-97.3	23.1	166.64
239	120							-97.6	21.9	167.34
240								-97.8	20.7	168.05
241	121	61	31	16				-98.1	19.5	168.75
242								-98.3	18.3	169.45
243	122							-98.5	17.1	170.16
244								-98.7	15.9	170.86
245	123	62						-98.9	14.7	171.56
246								-99.1	13.5	172.27
247	124							-99.2	12.2	172.97
248								-99.4	11.0	173.67
249	125	63	32					-99.5	9.8	174.38
250								-99.6	8.6	175.08
251	126							-99.7	7.4	175.78
252								-99.8	6.1	176.48
253	127	64						-99.9	4.9	177.19
254								-99.9	3.7	177.89
255	128							-100.0	2.5	178.59
256								-100.0	1.2	179.30
257	129	65	33	17	9	5		-100.0	0.0	180.00
258								-100.0	-1.2	180.70
259	130							-100.0	-2.5	181.41

260								-99.9	-3.7	182.11
261	131	66						-99.9	-4.9	182.81
262								-99.8	-6.1	183.52
263	132							-99.7	-7.4	184.22
264								-99.6	-8.6	184.92
265	133	67	34					-99.5	-9.8	185.63
266								-99.4	-11.0	186.33
267	134							-99.2	-12.2	187.03
268								-99.1	-13.5	187.73
269	135	68						-98.9	-14.7	188.44
270								-98.7	-15.9	189.14
271	136							-98.5	-17.1	189.84
272								-98.3	-18.3	190.55
273	137	69	35	18				-98.1	-19.5	191.25
274								-97.8	-20.7	191.95
275	138							-97.6	-21.9	192.66
276								-97.3	-23.1	193.36
277	139	70						-97.0	-24.3	194.06
278								-96.7	-25.5	194.77
279	140							-96.4	-26.7	195.47
280								-96.0	-27.9	196.17
281	141	71	36					-95.7	-29.0	196.88
282								-95.3	-30.2	197.58
283	142							-95.0	-31.4	198.28
284								-94.6	-32.5	198.98
285	143	72						-94.2	-33.7	199.69
286								-93.7	-34.8	200.39
287	144							-93.3	-36.0	201.09
288								-92.9	-37.1	201.80
289	145	73	37	19	10			-92.4	-38.3	202.50
290								-91.9	-39.4	203.20
291	146							-91.4	-40.5	203.91
292								-90.9	-41.6	204.61
293	147	74						-90.4	-42.8	205.31
294								-89.9	-43.9	206.02
295	148							-89.3	-45.0	206.72
296								-88.8	-46.1	207.42
297	149	75	38					-88.2	-47.1	208.13
298								-87.6	-48.2	208.83
299	150							-87.0	-49.3	209.53
300								-86.4	-50.4	210.23
301	151	76						-85.8	-51.4	210.94
302								-85.1	-52.5	211.64
303	152							-84.5	-53.5	212.34

304								-83.8	-54.5	213.05
305	153	77	39	20				-83.1	-55.6	213.75
306								-82.5	-56.6	214.45
307	154							-81.8	-57.6	215.16
308								-81.0	-58.6	215.86
309	155	78						-80.3	-59.6	216.56
310								-79.6	-60.6	217.27
311	156							-78.8	-61.5	217.97
312								-78.1	-62.5	218.67
313	157	79	40					-77.3	-63.4	219.38
314								-76.5	-64.4	220.08
315	158							-75.7	-65.3	220.78
316								-74.9	-66.2	221.48
317	159	80						-74.1	-67.2	222.19
318								-73.3	-68.1	222.89
319	160							-72.4	-69.0	223.59
320								-71.6	-69.8	224.30
321	161	81	41	21	11	6	3	-70.7	-70.7	225.00
322								-69.8	-71.6	225.70
323	162							-69.0	-72.4	226.41
324								-68.1	-73.3	227.11
325	163	82						-67.2	-74.1	227.81
326								-66.2	-74.9	228.52
327	164							-65.3	-75.7	229.22
328								-64.4	-76.5	229.92
329	165	83	42					-63.4	-77.3	230.63
330								-62.5	-78.1	231.33
331	166							-61.5	-78.8	232.03
332								-60.6	-79.6	232.73
333	167	84						-59.6	-80.3	233.44
334								-58.6	-81.0	234.14
335	168							-57.6	-81.8	234.84
336								-56.6	-82.5	235.55
337	169	85	43	22				-55.6	-83.1	236.25
338								-54.5	-83.8	236.95
339	170							-53.5	-84.5	237.66
340								-52.5	-85.1	238.36
341	171	86						-51.4	-85.8	239.06
342								-50.4	-86.4	239.77
343	172							-49.3	-87.0	240.47
344								-48.2	-87.6	241.17
345	173	87	44					-47.1	-88.2	241.88
346								-46.1	-88.8	242.58
347	174							-45.0	-89.3	243.28

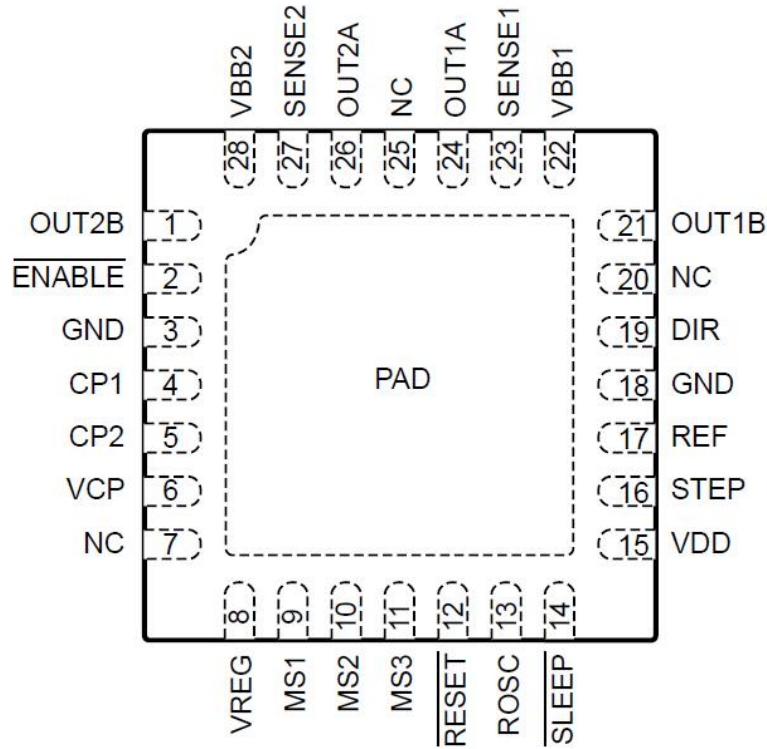
348								-43.9	-89.9	243.98
349	175	88						-42.8	-90.4	244.69
350								-41.6	-90.9	245.39
351	176							-40.5	-91.4	246.09
352								-39.4	-91.9	246.80
353	177	89	45	23	12			-38.3	-92.4	247.50
354								-37.1	-92.9	248.20
355	178							-36.0	-93.3	248.91
356								-34.8	-93.7	249.61
357	179	90						-33.7	-94.2	250.31
358								-32.5	-94.6	251.02
359	180							-31.4	-95.0	251.72
360								-30.2	-95.3	252.42
361	181	91	46					-29.0	-95.7	253.13
362								-27.9	-96.0	253.83
363	182							-26.7	-96.4	254.53
364								-25.5	-96.7	255.23
365	183	92						-24.3	-97.0	255.94
366								-23.1	-97.3	256.64
367	184							-21.9	-97.6	257.34
368								-20.7	-97.8	258.05
369	185	93	47	24				-19.5	-98.1	258.75
370								-18.3	-98.3	259.45
371	186							-17.1	-98.5	260.16
372								-15.9	-98.7	260.86
373	187	94						-14.7	-98.9	261.56
374								-13.5	-99.1	262.27
375	188							-12.2	-99.2	262.97
376								-11.0	-99.4	263.67
377	189	95	48					-9.8	-99.5	264.38
378								-8.6	-99.6	265.08
379	190							-7.4	-99.7	265.78
380								-6.1	-99.8	266.48
381	191	96						-4.9	-99.9	267.19
382								-3.7	-99.9	267.89
383	192							-2.5	-100.0	268.59
384								-1.2	-100.0	269.30
385	193	97	49	25	13	7		0.0	-100.0	270.00
386								1.2	-100.0	270.70
387	194							2.5	-100.0	271.41
388								3.7	-99.9	272.11
389	195	98						4.9	-99.9	272.81
390								6.1	-99.8	273.52
391	196							7.4	-99.7	274.22

392								8.6	-99.6	274.92
393	197	99	50					9.8	-99.5	275.63
394								11.0	-99.4	276.33
395	198							12.2	-99.2	277.03
396								13.5	-99.1	277.73
397	199	100						14.7	-98.9	278.44
398								15.9	-98.7	279.14
399	200							17.1	-98.5	279.84
400								18.3	-98.3	280.55
401	201	101	51	26				19.5	-98.1	281.25
402								20.7	-97.8	281.95
403	202							21.9	-97.6	282.66
404								23.1	-97.3	283.36
405	203	102						24.3	-97.0	284.06
406								25.5	-96.7	284.77
407	204							26.7	-96.4	285.47
408								27.9	-96.0	286.17
409	205	103	52					29.0	-95.7	286.88
410								30.2	-95.3	287.58
411	206							31.4	-95.0	288.28
412								32.5	-94.6	288.98
413	207	104						33.7	-94.2	289.69
414								34.8	-93.7	290.39
415	208							36.0	-93.3	291.09
416								37.1	-92.9	291.80
417	209	105	53	27	14			38.3	-92.4	292.50
418								39.4	-91.9	293.20
419	210							40.5	-91.4	293.91
420								41.6	-90.9	294.61
421	211	106						42.8	-90.4	295.31
422								43.9	-89.9	296.02
423	212							45.0	-89.3	296.72
424								46.1	-88.8	297.42
425	213	107	54					47.1	-88.2	298.13
426								48.2	-87.6	298.83
427	214							49.3	-87.0	299.53
428								50.4	-86.4	300.23
429	215	108						51.4	-85.8	300.94
430								52.5	-85.1	301.64
431	216							53.5	-84.5	302.34
432								54.5	-83.8	303.05
433	217	109	55	28				55.6	-83.1	303.75
434								56.6	-82.5	304.45
435	218							57.6	-81.8	305.16

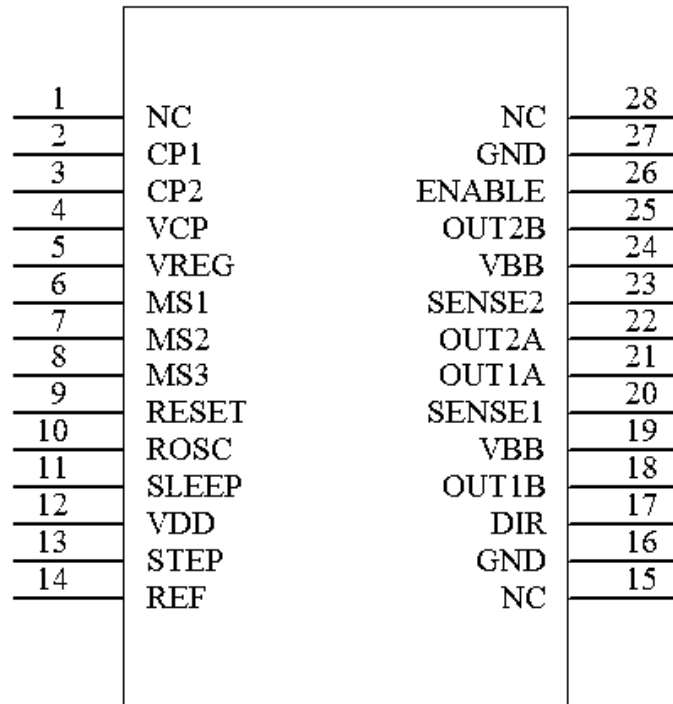
436								58.6	-81.0	305.86
437	219	110						59.6	-80.3	306.56
438								60.6	-79.6	307.27
439	220							61.5	-78.8	307.97
440								62.5	-78.1	308.67
441	221	111	56					63.4	-77.3	309.38
442								64.4	-76.5	310.08
443	222							65.3	-75.7	310.78
444								66.2	-74.9	311.48
445	223	112						67.2	-74.1	312.19
446								68.1	-73.3	312.89
447	224							69.0	-72.4	313.59
448								69.8	-71.6	314.30
449	225	113	57	29	15	8	4	70.7	-70.7	315.00
450								71.6	-69.8	315.70
451	226							72.4	-69.0	316.41
452								73.3	-68.1	317.11
453	227	114						74.1	-67.2	317.81
454								74.9	-66.2	318.52
455	228							75.7	-65.3	319.22
456								76.5	-64.4	319.92
457	229	115	58					77.3	-63.4	320.63
458								78.1	-62.5	321.33
459	230							78.8	-61.5	322.03
460								79.6	-60.6	322.73
461	231	116						80.3	-59.6	323.44
462								81.0	-58.6	324.14
463	232							81.8	-57.6	324.84
464								82.5	-56.6	325.55
465	233	117	59	30				83.1	-55.6	326.25
466								83.8	-54.5	326.95
467	234							84.5	-53.5	327.66
468								85.1	-52.5	328.36
469	235	118						85.8	-51.4	329.06
470								86.4	-50.4	329.77
471	236							87.0	-49.3	330.47
472								87.6	-48.2	331.17
473	237	119	60					88.2	-47.1	331.88
474								88.8	-46.1	332.58
475	238							89.3	-45.0	333.28
476								89.9	-43.9	333.98
477	239	120						90.4	-42.8	334.69
478								90.9	-41.6	335.39
479	240							91.4	-40.5	336.09

480								91.9	-39.4	336.80
481	241	121	61	31	16			92.4	-38.3	337.50
482								92.9	-37.1	338.20
483	242							93.3	-36.0	338.91
484								93.7	-34.8	339.61
485	243	122						94.2	-33.7	340.31
486								94.6	-32.5	341.02
487	244							95.0	-31.4	341.72
488								95.3	-30.2	342.42
489	245	123	62					95.7	-29.0	343.13
490								96.0	-27.9	343.83
491	246							96.4	-26.7	344.53
492								96.7	-25.5	345.23
493	247	124						97.0	-24.3	345.94
494								97.3	-23.1	346.64
495	248							97.6	-21.9	347.34
496								97.8	-20.7	348.05
497	249	125	63	32				98.1	-19.5	348.75
498								98.3	-18.3	349.45
499	250							98.5	-17.1	350.16
500								98.7	-15.9	350.86
501	251	126						98.9	-14.7	351.56
502								99.1	-13.5	352.27
503	252							99.2	-12.2	352.97
504								99.4	-11.0	353.67
505	253	127	64					99.5	-9.8	354.38
506								99.6	-8.6	355.08
507	254							99.7	-7.4	355.78
508								99.8	-6.1	356.48
509	255	128						99.9	-4.9	357.19
510								99.9	-3.7	357.89
511	256							100.0	-2.5	358.59
512								100.0	-1.2	359.30

Pin-out Diagram



QFN28



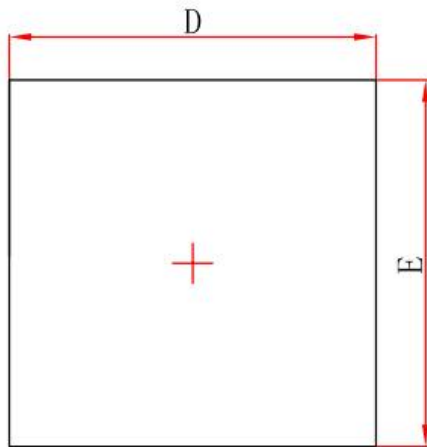
TSSOP28

Terminal List Table

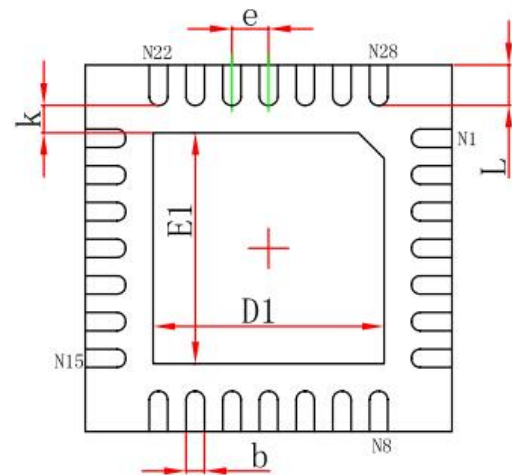
QFN28	TSSOP28		Pin Description
4	2	CP1	Charge pump capacitor terminal
5	3	CP2	Charge pump capacitor terminal
6	4	VCP	Reservoir capacitor terminal
8	5	VREG	Regulator decoupling terminal
9	6	MS1	Logic input
10	7	MS2	Logic input
11	8	MS3	Logic input
12	9	\RESET	Logic input
13	10	ROSC	Timing set
14	11	\SLEEP	Logic input
15	12	VDD	Logic supply
16	13	STEP	Logic input
17	14	REF	G _m reference voltage input
3,18	16,27	GND	Ground*
19	17	DIR	Logic input
21	18	OUT1B	DMOS Full Bridge 1 Output B
22	19	VBB1	Load supply
23	20	SENSE1	Sense resistor terminal for Bridge 1
24	21	OUT1A	DMOS Full Bridge 1 Output A
26	22	OUT2A	DMOS Full Bridge 2 Output A
27	23	SENSE2	Sense resistor terminal for Bridge 2
28	24	VBB2	Load supply
1	25	OUT2B	DMOS Full Bridge 2 Output B
2	26	\ENABLE	Logic input
7,20,25	1,15,28	NC	No connection
-	-	PAD	Exposed pad for enhanced thermal dissipation*

*The GND pins must be tied together externally by connecting to the PAD ground plane under the device.

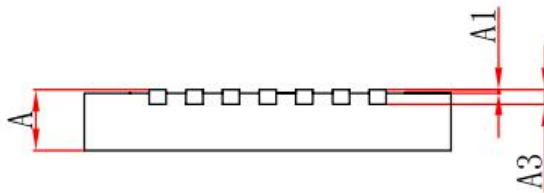
QFN28-5*5 with exposed thermal pad



Top View



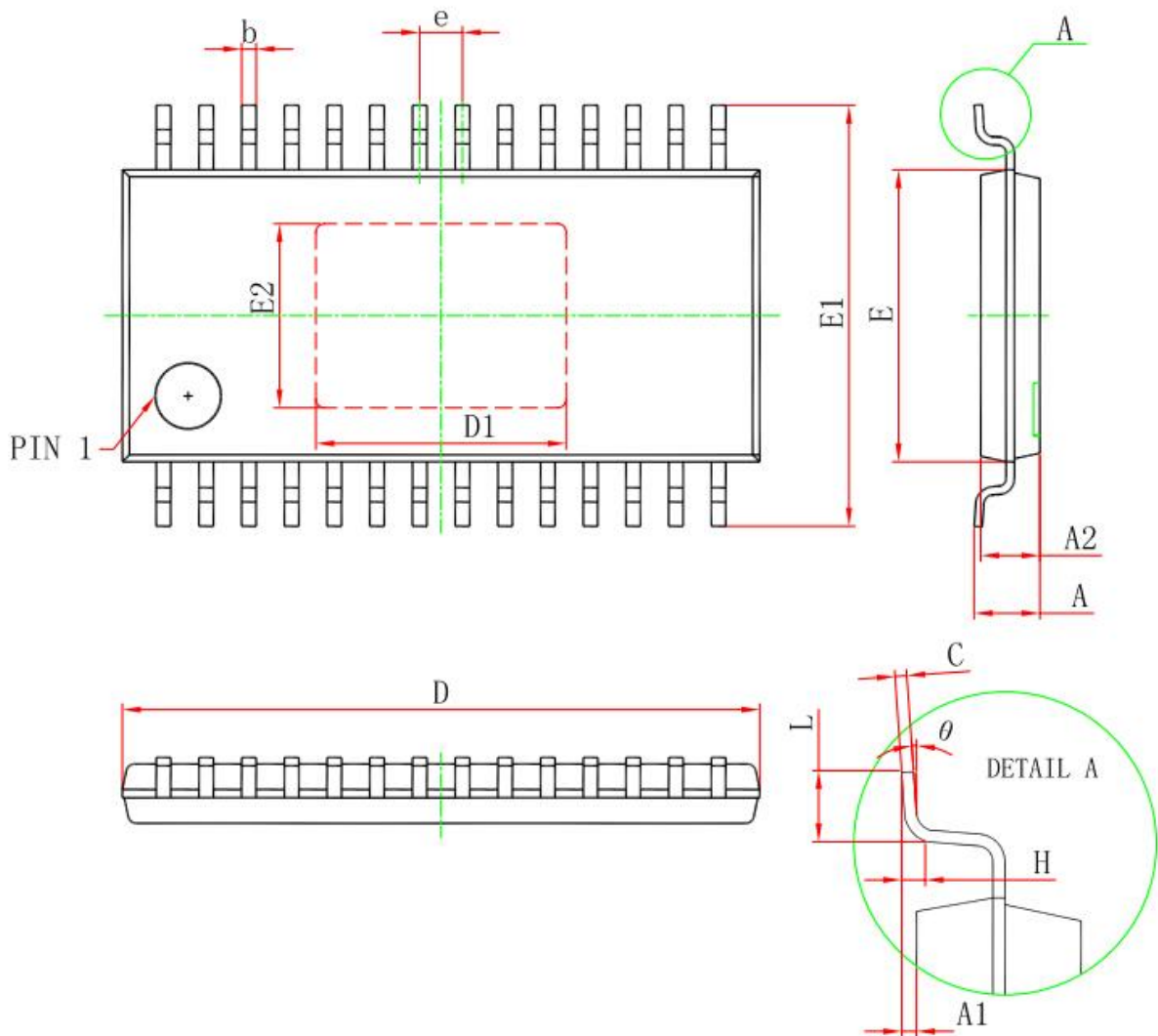
Bottom View



Side View

Symbol	Dimensions In Millimeters		Dimensions In Inches	
	Min.	Max.	Min.	Max.
A	0.700/0.800	0.800/0.900	0.028/0.031	0.031/0.035
A1	0.000	0.050	0.000	0.002
A3	0.203REF.		0.008REF.	
D	4.900	5.100	0.193	0.201
E	4.900	5.100	0.193	0.201
D1	3.050	3.250	0.120	0.128
E1	3.050	3.250	0.120	0.128
k	0.200MIN.		0.008MIN.	
b	0.180	0.300	0.007	0.012
e	0.500TYP.		0.020TYP.	
L	0.450	0.650	0.018	0.026

TSSOP 28 with exposed thermal pad



Symbol	Dimensions In Millimeters		Dimensions In Inches	
	Min	Max	Min	Max
D	9.600	9.800	0.378	0.386
D1	3.710	3.910	0.146	0.154
E	4.300	4.500	0.169	0.177
b	0.190	0.300	0.007	0.012
c	0.090	0.200	0.004	0.008
E1	6.250	6.550	0.246	0.258
E2	2.700	2.900	0.106	0.122
A		1.100		0.043
A2	0.800	1.000	0.031	0.039
A1	0.020	0.150	0.001	0.006
e	0.65 (BSC)		0.026 (BSC)	
L	0.500	0.700	0.02	0.028
H	0.25(TYP)		0.01(TYP)	
θ	1°	7°	1°	7°